

Министерство науки и высшего образования Российской Федерации
Федеральное государственное бюджетное образовательное учреждение
высшего образования

ТОМСКИЙ ГОСУДАРСТВЕННЫЙ УНИВЕРСИТЕТ СИСТЕМ УПРАВЛЕНИЯ И
РАДИОЭЛЕКТРОНИКИ (ТУСУР)

А.Д. Безпальй, А.Е. Мандель

**ГЕНЕРАЦИЯ ВТОРОЙ ГАРМОНИКИ ИЗЛУЧЕНИЯ ТВЕРДОТЕЛЬНОГО ЛАЗЕРА
В КРИСТАЛЛАХ С ПЕРИОДИЧЕСКОЙ СТРУКТУРОЙ**

Методические указания к лабораторной работе для студентов технических направлений
подготовки и специальностей

Томск
2023

УДК 535:530.145

ББК 22.343

Рецензент:

Шарангович С.Н., профессор кафедры сверхвысокочастотной и квантовой радиотехники
ТУСУР, канд. физ.-мат. наук

Авторы:

А. Д. Безпальный, А. Е. Мандель

Безпальный, Александр Дмитриевич,

Генерация второй гармоники излучения твердотельного лазера в кристаллах с периодической структурой / А.Д. Безпальный, А.Е. Мандель. – Томск: Томск. гос. ун-т систем упр. и радиоэлектроники, 2023. – 15 с.

В работе изложены устройство и принципы работы твердотельного YAG:Nd³⁺-лазера с генерацией второй гармоники. Описана экспериментальная установка и методика проведения лабораторной работы. В ходе выполнения работы студенты закрепляют теоретические знания об устройстве и принципах работы твердотельных лазеров с генерацией второй гармоники

Методические указания предназначены для студентов технических направлений подготовки и специальностей.

Одобрено на заседании каф. СВЧиКР протокол №2 от 28.09.2023 г.

УДК 531.1

ББК 22.3

© Безпальный А.Д., 2023

© Томск. гос. ун-т систем упр. и
радиоэлектроники, 2023

Оглавление

Введение.....	4
1 ЭЛЕМЕНТЫ ТЕОРИИ	5
1.1 Устройство и принцип действия твердотельного лазера на YAG:Nd ³⁺	5
1.2 Генерация второй гармоники.....	7
1.2.1 Оптическая нелинейность среды	7
1.2.2 Генерация второй гармоники.....	8
1.2.3 Условия фазового синхронизма при генерации второй гармоники.....	9
1.2.4 Квазифазовый синхронизм.....	10
2 ОПИСАНИЕ ЭКСПЕРИМЕНТАЛЬНОЙ УСТАНОВКИ	12
2.1 Основные элементы, входящие в состав установки	12
3 ПОРЯДОК ВЫПОЛНЕНИЯ РАБОТЫ	13
4 СОДЕРЖАНИЕ ОТЧЕТА.....	14
5 КОНТРОЛЬНЫЕ ВОПРОСЫ	14
СПИСОК ЛИТЕРАТУРЫ.....	15

Введение

Активная среда твердотельного лазера содержит активные ионы примеси в твердотельной матрице. Именно в ионах примесей и создается инверсная заселенность. В качестве примесных ионов обычно используют ионы переходных металлов (марганец, хром, никель и кобальт) или редкоземельных элементов. В настоящее время инверсная заселенность получена на большом числе ионов (например, на Cr, Nd, Sm, Ni, Er и др.). В качестве матриц твердотельных активных сред используются такие кристаллические или аморфные диэлектрические материалы как корунд (Al_2O_3), иттрий-алюминиевый гранат ($Y_3Al_5O_{12}$), стекло. Концентрация примесных ионов в матрице, как правило, невелика и составляет доли процента. Рабочий активный элемент лазера должен удовлетворять большому числу требований. Он должен обеспечивать большой коэффициент усиления, быть оптически однородным, механически прочным; термостойким, технологичным, прозрачным для излучения накачки, а также допускать механическую и оптическую обработку, допускать изготовление образцов больших размеров и иметь высокую теплопроводность.

Основной способ создания инверсии населенностей в твердотельных лазерах – оптическая накачка. Для реализации оптической накачки необходимы мощные источники света, у которых основная доля энергии должна попадать в полосы поглощения активного вещества. Наиболее подходящими до недавнего времени являлись газоразрядные лампы (например, ксеноновые или криптоновые). Они обладают достаточно высоким к.п.д. (до 50%). В последнее время для оптической накачки наряду с газоразрядными лампами все шире используются мощные светодиодные линейки или матрицы.

Одним из важных и наиболее интересных направлений использования лазеров является исследование зависимости характера оптических эффектов в различных средах от интенсивности света. Эти исследования привели к возникновению новой области физики – нелинейной оптики. Одним из важнейших процессов в нелинейной оптике является генерация высших гармоник светового излучения, в частности, второй гармоники (ГВГ).

Целью данной работы является ознакомление с конструкцией твердотельного лазера на АИГ: Nd и исследование режима генерации второй гармоники лазером на кристаллах с периодической доменной структурой.

1 ЭЛЕМЕНТЫ ТЕОРИИ

1.1 Устройство и принцип действия твердотельного лазера на YAG:Nd³⁺

Неодимовые лазеры являются самыми популярными из твердотельных лазеров. В этих лазерах активной средой обычно является кристалл Y₃Al₅O₁₂ (иттрий-алюминиевый гранат), в котором часть ионов Y³⁺ замещена ионами Nd³⁺. Типичная атомарная концентрация неодима составляет 0,05-1,3 %.

Упрощенная схема энергетических уровней кристалла Nd : YAG приведена на рисунке 1.1.

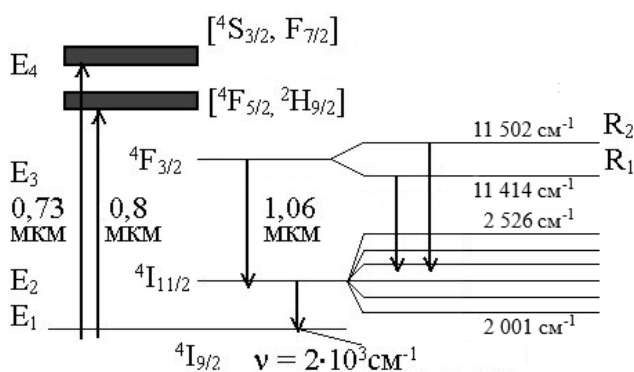


Рисунок 1.1 – Схема энергетических уровней кристалла YAG:Nd³⁺

Две основные полосы накачки расположены на длинах волн 0,73 и 0,8 мкм соответственно. В кристалле YAG:Nd³⁺ переход $4F_{3/2} - 4I_{11/2}$ хорошо подходит для получения лазерной генерации в четырехуровневой схеме. Этот переход имеет длину волны $\lambda = 1,064$ мкм (ближний ИК. диапазон).

YAG:Nd³⁺ лазеры могут работать как в непрерывном, так и в импульсном режиме. Активные элементы выполняются в виде стержней с диаметром до 0,5-1 см и длиной до 10 см. Они отличаются высоким оптическим качеством и хорошо поддаются полировке. Обычно лазеры на иттрий-алюминиевом гранате (ИАГ) используются в режиме импульсно-периодического или непрерывного возбуждения. При этом в режиме импульсно-периодического возбуждения создают достаточно длинные (0,5-10 мс) импульсы с частотой повторения до 100 Гц. Мощность непрерывной генерации современных лазеров на ИАГ достигает 400Вт.

Оптическая накачка YAG:Nd³⁺ лазеров осуществляется либо с помощью излучения газоразрядных ламп, либо с помощью светодиодов, лазеров.

Эти лазеры могут работать в непрерывном и импульсном режиме. В первом случае используются криптоновые лампы накачки, во втором — ксеноновые. И основная проблема в обоих случаях – низкая эффективность поглощения излучения накачки. Это приводит к

высокому энергопотреблению и большому тепловыделению. Так что для подобных систем требуется водяное охлаждение.

Вторым существенным недостатком твердотельных лазеров с ламповой накачкой является непродолжительный (несколько сотен часов) срок службы ламп. А их регулярная замена ведет к существенно увеличению эксплуатационных расходов.

Тем не менее, твердотельные лазеры с ламповой накачкой имеют и ряд преимуществ: большая энергия импульса; высокое качество излучения; возможность получения пятна обработки меньшего размера; лучшее поглощение металлами; более простая эксплуатация; надежность.

Схема YAG:Nd^{3+} с диодной накачкой приведена на рисунке 1.2. Накачка этих систем осуществляется лазерными диодами или линейками лазерных диодов с длиной волны излучения 808 нм, идеально попадающей в полосу поглощения активной среды Nd:YAG -лазера.

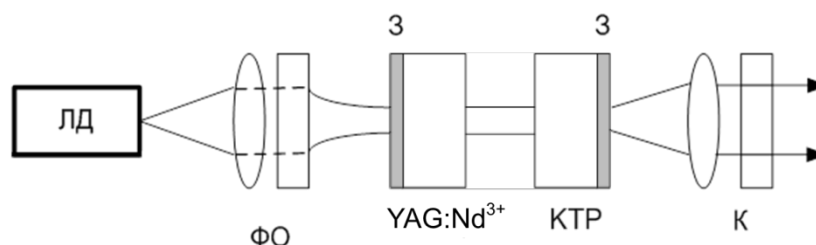


Рисунок 1.2 – Схема YAG:Nd^{3+} -лазера с диодной накачкой: ЛД – лазерный диод; ФО – фокусирующая оптическая система; 3 – входное и выходное зеркала; YAG:Nd^{3+} – накачиваемый кристалл ИАГ; КТР – удвоитель частоты; – коллиматор

В современных твердотельных лазерах в качестве активных сред применяются Nd:YAG (иттрий-алюминиевый гранат), Nd:YVO_4 (ванадат иттрия), Nd:LSB (скандоборат лантана). Типичная конструкция лазера с диодной накачкой, генерирующего излучение с длиной волны 0,53 мкм, представлена схематически на рисунке 1.2. Здесь излучение лазерного диода (ЛД) с длиной волны 0,81 мкм с помощью фокусирующей оптической системы (ФО) вводится через торец в активный кристалл (YVO_4). Зеркало (3) прозрачно для излучения накачки, но обладает высоким коэффициентом отражения для излучения с длиной волны 1,06 мкм. В оптический резонатор, образованный двумя зеркалами (3), помещен нелинейный кристалл КТР (титанил-фосфат калия), осуществляющий удвоение частоты (эффект удвоения частоты или генерации второй гармоники рассматривается в Главе 8 [1]). Второе зеркало резонатора является прозрачным для излучения с $\lambda = 532$ нм и хорошо отражает на основной гармонике. Выведенное из резонатора излучение с удвоенной частотой коллимируется оптической системой (К).

Основными характеристиками Nd:YAG-лазера с диодной накачкой является высокий КПД и возможность генерации импульсов с периодичностью 0,1...100 кГц. Более эффективное поглощение излучения накачки позволяет существенно снизить энергопотребление лазера. Кроме того, меньше энергии уходит в тепловые потери, поэтому лазерам с диодной накачкой достаточно воздушного охлаждения. Это упрощает эксплуатацию и позволяет уменьшить габариты. Еще одним преимуществом таких лазеров является большой срок службы лазерных диодов. Он составляет более 10000 часов. К недостаткам же лазеров с диодной накачкой можно отнести чувствительность к температуре окружающей среды в жаркое время.

1.2 Генерация второй гармоники

1.2.1 Оптическая нелинейность среды

Рассмотрим диэлектрическую восприимчивость среды χ . Из курса электродинамики известно, что она связывает величину поляризации среды, индуцированной полем электромагнитной волны, с величиной напряженности этого поля. В случае изотропного материала эта связь определяется соотношением:

$$\overline{P} = \chi \cdot \overline{E}, \quad (1.1)$$

где χ – постоянная скалярная величина.

В реальной среде увеличение напряженности светового поля приводит к нелинейной связи с наведенной им электрической поляризацией. Такая нелинейная связь во многих случаях может быть представлена в виде:

$$P_i = \varepsilon_0 (\chi_{ij} E_j + 2d_{ijk} E_j E_k + 4\chi_{ijkl} E_j E_k E_l + \dots) \quad (1.2)$$

где P_i – компонента мгновенной поляризации; E_j – компонента электрической напряженности мгновенного светового поля; χ_{ij} – линейная восприимчивость среды; d_{ijk} и χ_{ijkl} – нелинейные оптические восприимчивости второго и третьего порядков соответственно.

Нелинейный оптический отклик, характеризуемый параметрами d_{ijk} и χ_{ijkl} , приводит к многочисленным нелинейным явлениям. Нелинейность второго порядка $P_i = 2\varepsilon_0 d_{ijk} E_j E_k$ ответственна за генерацию второй гармоники, суммарных и разностных частот, член третьего порядка связан с описанием различных явлений, таких как генерация третьей гармоники, комбинационное рассеяние света.

Таким образом, при сильных световых полях отклик среды (величина P) на поле световой волны (E) оказывается нелинейным. Коэффициенты d_{ijk} и χ_{ijkl} называют квадратичной и кубичной восприимчивостями, а среды, для которых соответствующие слагаемые в (1.2) доминируют, называют средами с квадратичной или кубичной оптической нелинейностью.

1.2.2 Генерация второй гармоники

Пусть в кристалле вдоль некоторого направления Z , ортогонально его входной грани, распространяется волна накачки:

$$\vec{E}^{\omega}(z, t) = \frac{1}{2} \vec{e}^{\omega} \dot{E}^{\omega} \cdot \exp[i(\omega t - k_{\omega} z)] + \text{к.с.}, \quad (1.3)$$

с комплексной амплитудой \dot{E}^{ω} , единичным вектором поляризации \vec{e}^{ω} и волновым числом k^{ω} и коллинеарной с ней волны на удвоенной частоте 2ω :

$$\vec{E}^{2\omega}(z, t) = \frac{1}{2} \vec{e}^{2\omega} \dot{E}^{2\omega} \cdot \exp[i(2\omega t - k_{2\omega} z)] + \text{к.с.}, \quad (1.4)$$

с параметрами $\dot{E}^{2\omega}$, $\vec{e}^{2\omega}$, $k_{2\omega}$.

Найдем далее нелинейную поляризацию среды P_{nl} на частотах 2ω и ω , используя соотношение (2.2), в которое необходимо подставить суперпозицию полей $\vec{E}^{\omega}(z, t)$ и $\vec{E}^{2\omega}(z, t)$. Подставляя P_{nl} , как и суперпозицию полей в волновое уравнение

$$\text{rot rot } E + \mu_0 \frac{\partial^2(\epsilon E)}{\partial t^2} = -\mu_0 \frac{\partial^2 P_{nl}}{\partial t^2}. \quad (1.5)$$

После использования стандартной процедуры метода медленно меняющихся амплитуд и в приближении неистошаемой накачки получим выражение для амплитуды поля второй гармоники $\vec{E}^{2\omega}(z, t)$ [1]:

$$\vec{E}_m^{2\omega}(z, t) = -i \frac{\omega}{cn} d_{eff} (\dot{E}_m^{\omega})^2 \frac{\exp(i\Delta kz) - 1}{i\Delta k}. \quad (1.6)$$

Интенсивность второй гармоники и интенсивность волны накачки можно получить, используя соотношения[1]:

$$I^{2\omega} = \frac{1}{2} n^{2\omega} \sqrt{\frac{\epsilon_0}{\mu_0}} \left| \dot{E}_m^{2\omega} \right|^2, \quad I^{\omega} = \frac{1}{2} n^{\omega} \sqrt{\frac{\epsilon_0}{\mu_0}} \left| \dot{E}_m^{\omega} \right|^2. \quad (1.7)$$

В результате получаем следующее выражение для интенсивности второй гармоники на выходной грани кристалла $z = L$ [1]:

$$I^{2\omega}(L) = 2 \sqrt{\frac{\varepsilon_0}{\mu_0}} \frac{\omega d_{\text{eff}} L^2}{c^2 (n^{(\omega)})^2 n^{2\omega}} (I^{(\omega)})^2 \frac{\sin^2(\Delta k L / 2)}{(\Delta k L / 2)^2} \quad (1.8)$$

Таким образом, интенсивность второй гармоники пропорциональна квадрату интенсивности основного излучения.

1.2.3 Условия фазового синхронизма при генерации второй гармоники

Из (1.8) вытекает, что эффективная генерация второй гармоники требует выполнения условия фазового синхронизма $\Delta k=0$. Требование $\Delta k=0$ эквивалентно условию $k^{(2\omega)} = 2k^{(\omega)}$. Действительно, причиной возникновения излучения с удвоенной частотой является нелинейная поляризация, наводимая в среде световой волной с частотой ω . Волна наведенной поляризации распространяется в среде со скоростью распространения индуцирующего излучения. Если $k^{(2\omega)} \neq 2k^{(\omega)}$, то между излучением с удвоенной частотой и наводимой поляризацией возникает фазовый сдвиг, нарастающий с расстоянием, так что в некоторой точке он может достигать величины π . Расстояние, на котором фазовый сдвиг изменяется от нуля до π , называется "когерентной длиной":

$$l_c = \frac{\pi}{\Delta k} = \frac{\pi}{k^{(2\omega)} - 2k^{(\omega)}}. \quad (1.9)$$

Ее величина служит оценкой максимальной длины кристалла, которую можно эффективно использовать для генерации второй гармоники. В области нормальной дисперсии показатель преломления растет с увеличением частоты, поэтому:

$$\Delta k = k^{(2\omega)} - 2k^{(\omega)} = \frac{2\omega}{c} (n^{(2\omega)} - n^{(\omega)}). \quad (1.10)$$

Здесь использовано соотношение $k=\omega n/c$. Тогда когерентная длина может быть выражена в форме:

$$l_c = \frac{\pi c}{\omega \cdot (n^{(2\omega)} - n^{(\omega)})} = \frac{\lambda}{4(n^{(2\omega)} - n^{(\omega)})}. \quad (1.11)$$

где λ – длина волны падающего света.

Для обеспечения условий фазового синхронизма используется оптическая анизотропия кристаллов. Для этого необходимо выполнить условие $n^{(2\omega)} = n^{(\omega)}$, т.е. условие равенства показателей преломления среды на основной частоте и на частоте второй гармоники. В области нормальной дисперсии показатели преломления как обыкновенной,

так и необыкновенной волн, распространяющихся в заданном направлении, увеличиваются с ростом частоты. Таким образом, выполнить условие равенства показателей преломления невозможно, если волны с частотами ω и 2ω относятся к одному типу (обыкновенные или необыкновенные). Однако условие фазового синхронизма может быть выполнено при использовании волн разных типов.

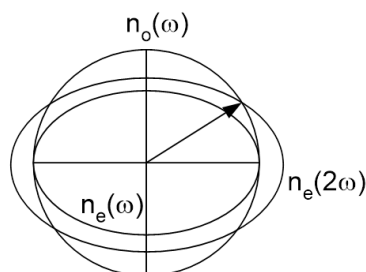


Рисунок 1.3 – К определению условия фазового синхронизма

В качестве примера рассмотрим зависимости величин показателей преломления необыкновенной и обыкновенной волн в одноосном, отрицательном кристалле (пример такого кристалла – кристалл ниобата лития), от угла между направлением распространения и оптической осью (осью Z). Эти зависимости схематично изображены на рисунке 1.3. Можно видеть, что для обыкновенной волны основной частоты и необыкновенной волны с удвоенной частотой имеются направления распространения света, удовлетворяющие условию фазового синхронизма (одно из них отмечено стрелкой).

1.2.4 Квазифазовый синхронизм

Для эффективного нелинейного взаимодействия необходимо условие фазового синхронизма. Должен быть скомпенсирован набег фазы, возникающий из-за разницы фазовых скоростей, вызванной материальной дисперсией. Другой подход к решению этой проблемы - использование квазифазового синхронизма, суть которого в пространственном периодическом изменении свойств нелинейной среды, чтобы компенсировать набег фазы через равные интервалы без совпадения фазовых скоростей. В частности, эффективное преобразование можно получить в кристалле, в котором периодически меняется знак нелинейной восприимчивости среды d .

Рассмотрим принцип квазифазового синхронизма на основе генерации второй гармоники. Пусть плоская электромагнитная волна с амплитудой поля E_m^ω , частотой ω и волновым вектором $k^{(\omega)}$ ($n^{(\omega)}$ – коэффициент преломления среды на частоте ω) распространяется в среде с нелинейной восприимчивостью d , порождая волну наведенной

поляризации. Волна поляризации порождает свободную электромагнитную волну с волновым вектором $k^{(2\omega)}$. Между этими волнами накапливается разность фаз π на длине, известной как длина когерентности:

$$l_c = \frac{\pi}{k^{(2\omega)} - 2k^{(\omega)}} = \frac{\lambda}{4(n^{(2\omega)} - n^{(\omega)})}$$

где λ - длина волны накачки в вакууме.

Направление перекачки энергии между волной накачки и волной второй гармоники зависит от фаз этих волн и, следовательно, меняет знак через каждое расстояние, равное длине когерентности l_c . Если менять знак нелинейной восприимчивости кристалла d через каждое l_c , фаза волны поляризации меняется на π , изменяя фазовое соотношение таким образом, что происходит монотонная перекачка энергии из волны накачки в электромагнитную волну второй гармоники.

Средняя скорость возрастания интенсивности второй гармоники при квазисинхронизме ниже, чем при точном соблюдении фазового синхронизма. Однако квазисинхронизм имеет ряд преимуществ. Во первых, квазисинхронизм не использует двулучепреломление, поэтому можно выбрать любые удобные поляризации, включая случай, когда поляризации волн параллельны. (что невозможно, когда фазовый синхронизм достигается за счет двулучепреломления). Во вторых, в большинстве сегнетоэлектриков можно использовать максимальный коэффициент тензора нелинейной восприимчивости кристалла.

Для практической реализации квазифазового синхронизма можно использовать периодические доменные структуры в сегнетоэлектрических кристаллах. В настоящее время разработаны способы формирования периодических доменных структур (ПДС) в ряде сегнетоэлектрических кристаллов, таких как ниобат лития, калий-титанил фосфат и др. Типичный пример периодической доменной структуры с ориентацией доменов «голова к хвосту» приведен на рисунке 1.4.

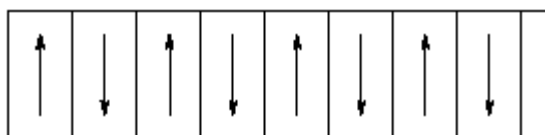


Рисунок 1.4 – Периодическая доменная структура в сегнетоэлектрическом кристалле

Изменение направления спонтанной поляризации в монокристаллах может быть реализовано путем нанесения на кристалл периодически расположенных

металлических электродов и приложения к ним электрического поля, обратного по знаку полю спонтанной поляризации.

2 ОПИСАНИЕ ЭКСПЕРИМЕНТАЛЬНОЙ УСТАНОВКИ

2.1 Основные элементы, входящие в состав установки

Экспериментальная установка приведена на рисунке 2.1.



Рисунок 2.1 – Лабораторный стенд для исследования генерации второй гармоники

В состав установки входят следующие элементы: 1 – лазерный диод ($P=1$ Вт, $\lambda=808$ нм); 2 – терминал управления диодным лазером; 3 – коллимирующая линза; 4 – фокусирующая линза; 5 – входное плоское зеркало; 6 – активный элемент из кристалла $Y_3Al_5O_{12}:Nd$; 7 – нелинейный элемент из кристалла КТР; 8 – выходное сферическое зеркало; 9 – светофильтр; 10 – диафрагма для настройки лазера; 11 – юстировочный лазер; 12 – цифровой мультиметр; 13 – цифровой осциллограф.

Лазерный диод 1 используется для оптической накачки активного элемента 4 из кристалла $Y_3Al_5O_{12}:Nd$. Линзы 3 и 4 необходимы для расширения и фокусировки излучения на активный элемент 4. Зеркала 5 и 8 образуют резонатор лазера. Нелинейный элемент 7 реализует генерацию второй гармоники ($\lambda = 532$ нм). Лазер на активном элементе 6 $Y_3Al_5O_{12}:Nd$ генерирует излучение с длиной волны 1,064 мкм. Поэтому для настройки всех элементов установки используется юстировочный диодный лазер 11 с излучением из красной области спектра. Светофильтр 9 необходим для фильтрации излучения, вышедшего из резонатора. Мощность оптического излучения регистрируется фотодетектором, затем измеряется с помощью цифрового мультиметра 13.

Для получения второй гармоники излучения лазера используются нелинейные элементы из кристалла КТР. Один из элементов имеет периодическую доменную структуру.

3 ПОРЯДОК ВЫПОЛНЕНИЯ РАБОТЫ

Перед выполнением работы необходимо ознакомиться с целью работы, теоретическим материалом и описанием экспериментальной установки.

1. Включить юстировочный диодный лазер.
2. Используя юстировочный диодный лазер провести юстировку лазерного диода, входного и выходного зеркал, активного элемента, нелинейного элемента и фотодетектора.
3. Снять с рельса юстировочный диодный лазер.
4. Подключить лазерный диод, используемый для оптической накачки активного элемента к терминалу управления.
5. Установить минимальную мощность генерации лазера $Y_3Al_5O_{12}:Nd$, изменяя ток диода накачки.
6. Подключить фотодетектор к мультиметру.
7. Меняя ток лазерного диода измерить ток фотодиода при генерации лазерного излучения на основной гармонике. Результаты занести в таблицу 3.1.
8. Меняя ток лазерного диода измерить ток фотодиода при генерации лазерного излучения на второй гармонике при использовании нелинейного элемента из кристалла КТР. Результаты занести в таблицу 3.1.
9. Меняя ток лазерного диода измерить ток фотодиода при генерации лазерного излучения на второй гармонике при использовании нелинейного элемента из кристалла КТР с ПДС. Результаты занести в таблицу 3.1.
10. Рассчитать эффективность преобразования излучения во вторую гармонику для обоих элементов. Результаты занести в таблицу 3.1.

Таблица 3.1 – Результаты измерений

Мощности накачки P , Вт	0,5	0,6	0,7	0,8	0,9	1,0
Ток фотодиода при генерации второй гармоники I_f , мА						
Ток фотодиода при генерации основной гармоники I_f , мА						
Эффективность преобразования излучения во вторую гармонику η , %						
Эффективность преобразования излучения во вторую гармонику на кристалле с ПДС η , %						

4 СОДЕРЖАНИЕ ОТЧЕТА

1. Оформить отчет по работе и сделать выводы о проделанной работе. В отчет должны входить следующие пункты:

- Введение.
- Элементы теории.
- Описание установки.
- Ход работы.
- Выводы.

2. После оформления отчет сдать на проверку преподавателю и приступить к защите работы. Перед защитой необходимо повторно изучить рекомендуемую литературу.

5 КОНТРОЛЬНЫЕ ВОПРОСЫ

1. Что означает инверсия населенностей?
2. Опишите схему энергетических уровней кристалла $Y_3Al_5O_{12}:Nd$.
3. Назвать основные элементы конструкции лазера и пояснить их назначение..
4. Опишите методы создания инверсии в твердотельных лазерах.
5. В чем заключается условие фазового синхронизма? Что такое отрицательный одноосный кристалл?
6. Как меняется интенсивность второй гармоники в случае фазового синхронизма с увеличением длины кристалла?
7. В чем преимущества использования квазифазового синхронизма при генерации второй гармоники?
8. Какие условия необходимо выполнить для эффективного преобразования основного излучения во вторую гармонику ?

СПИСОК ЛИТЕРАТУРЫ

1. Шандаров, С. М. Введение в нелинейную оптику: Учебное пособие [Электронный ресурс] / С. М. Шандаров. — Томск: ТУСУР, 2012. — 41 с. — Режим доступа: <https://edu.tusur.ru/publications/2059> (дата обращения: 05.09.2023 г.)
2. Шандаров, В. М. Основы физической и квантовой оптики: Учебное пособие [Электронный ресурс] / В. М. Шандаров. — Томск: ТУСУР, 2012. — 197 с. — Режим доступа: <https://edu.tusur.ru/publications/750> (дата обращения: 05.09.2023 г.)
3. Пихтин А. Н. Квантовая и оптическая электроника: учеб. для вузов / А. Н. Пихтин. — М.: Абрис, 2012. — 656 с.